



BION, ZAVOD ZA BIOELEKTROMAGNETIKU I NOVU BIOLOGIJU, d.o.o.  
BION, ZAVOD ZA BIOELEKTROMAGNETIKU I NOVU BIOLOGIJU, doo

Stegne 21, Si-1000 Ljubljana, Slovenija

t: +386 (0) 1 513 11 46 e: info@bion.si rvv.bion.si

Ljubljana, 19.12.2014. Br .: 98/1  
Broj Sertifikata br. : 0201

## IZVEŠTAJ O TESTU METODOM BionEvapo® EFEKTI PROIZVODA “QHRS Biopiramida”

**Naručilac testiranja:**  
QUANTHOLREG d.o.o.  
Jovana Rajića 5a/pp  
11000 BeogradSrbija

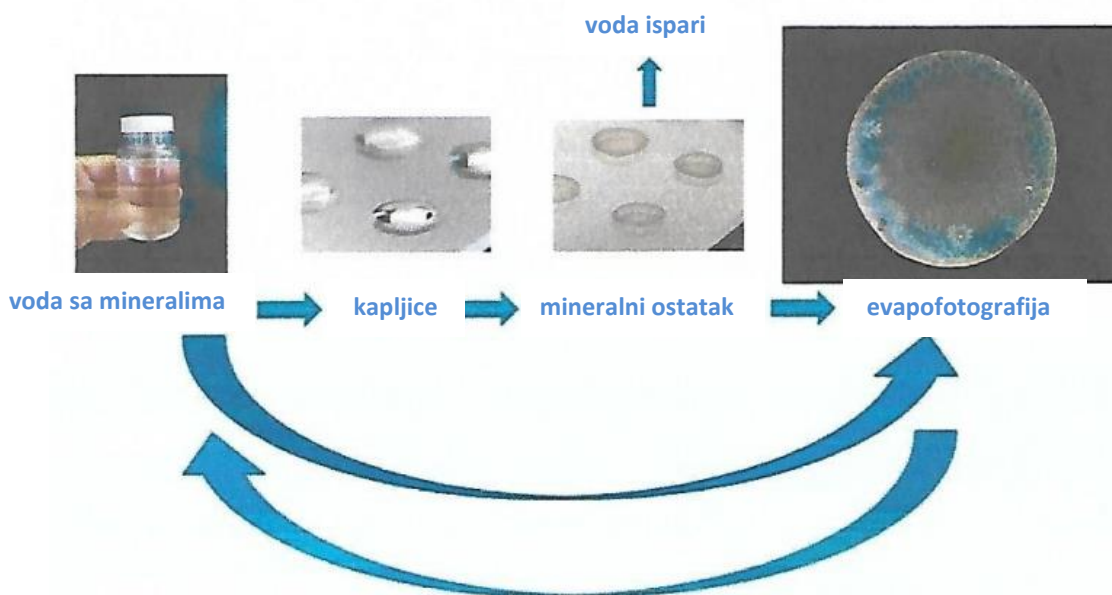
**Izvođač testiranja:**  
Bion Institute d.o.o. Stegne 21  
1000 Ljubljana  
Slovenija

## SADRŽAJ

1. BION EVAPO® METODA .....	3
2. ANALIZA .....	4
3. REZULTATI .....	6
3.1. VODENA VODA IZNAD PIRAMIDOM .....	6
3.2. IZVORSKA VODA IZNAD PIRAMIDOM .....	8
3.3. VODOVODNA VODA PORED PIRAMIDE .....	9
3.4. IZOVRSKA VODA PORED PIRAMIDE.....	10
4. TUMAČENJA I REZULTATA I ZAKLJUČCI.....	12

## 1. BIONEVAPO® METODA

BionEvapo® metoda je standardizovana metoda za ispitivanje promena u strukturi vode uzrokovanih različitim faktorima. Zamišljenom kombinacijom metoda i postupaka možemo da posmatramo i procenjujemo strukture promena koje se ne mogu meriti konvencionalnim metodama. Pomoću metode BionEvapo® analiziramo uzorke čvrstih supstanci koje ostaju na predmetnom staklu nakon što se kapljica vode osuši. Koristeći mikroskopiju tamnog polja, posmatramo oblike nastale pod različitim uslovima i slike procenjujemo pomoću specijalnog računarskog programa za hvatanje i tekstualnu analizu fotografija (slika 1). Iz računarske obrade dobijenih fotografija ostataka kapljica možemo zaključiti da se neke promene dešavaju u uzorku vode koji je izložen različitim uticajima.



**Slika 1:** Shematski prikaz BionEvapo® metode

## 2. ANALIZA

Istražili smo uticaj QHRS Biopiramida (u daljem tekstu „piramida“, slika 2) na strukturu kvaliteta vode iz slavine i odabrane izvorske vode sa malim sadržajem rastvorenih čestica, čija su svojstva dobro poznata i omogućavaju nam da za sada optimalno procenimo promene. QHRS Biopiramida sadrži spiralno postavljene diskove nanokristala koji bi trebalo da stvore energetska polja sa mnogim pozitivnim efektima.



**Slika 2:** predmet testiranja je bila QHRS Biopiramida sa čipom (srednja slika). Na levoj slici je prikazana zatvorena piramida (spolja se piramida sa čipom i kontrolna piramida ne razlikuju) na desnoj je kontrolna (piramida bez čipa i šupljeg kvadra)

### Test jedinice:

- **EKSPERIMENTALNA KONTROLA (oznaka K)** - laboratorijska čaša, koja nije bila izložena nikakvom uticaju i daje nam sliku vode na kojoj testiramo promene ili. pokazuje svoje početno stanje
- **KONTROLNA PIRAMIDA (oznaka PK)** - piramida bez čipa
- **TEST PIRAMIDA (oznaka PT)** - piramida sa čipom

Testirali smo 3 različite piramide: 3 test i 3 kontrolne. Budući da test piramide (PT) imaju domet od 7 metara, a uticaj test i kontrolne piramide (PK) treba istovremeno testirati, test piramidu (PT) smo postavili u jednu sobu, kontrolnu piramidu (PK) u drugu (van dometa test piramide PT), a eksperimentalnu kontrolu (K) u laboratoriju u kojoj smo se pripremali kapljice vode.

Odabrana voda za ispitivanje (voda iz slavine ili izvorska voda) sipana je u 3 čaše, nakon 5 minuta (vreme 0 ili vreme pre eksperimenta) kapi su ispuštene iz svake na predmetno staklo (za mikroskopiranje) i osušene. Zatim smo ostavili jednu Čašu u laboratoriji u (kontrola - K), drugu postavili na ili pored ispitne piramide (PT), a treću na ili pored kontrolne piramide (PK). Testirali smo istovremeno samo po jednu staklenu čašu vode: ili iznad piramide koja je bila otvorena ili pored piramide koja je bila zatvorena (slika 3). Posle pola sata izlaganja delovanju uticaja, u laboratoriju smo doneli čaše sa vodom koje su stajale na pozicijama blizu PK i PT i ponovo pripremili kapi.

U svaku čašu je kapano po 8 kapi vode pre eksperimenta i 8 nakon eksperimenta. Sušeni su pod stalnim uslovima (temperatura između 22 i 24 ° C, vlažnost 44-47%). Test je ponovljen tri

puta sa tri različite test i kontrolne piramide za svaku vodu (vodovodna i izvorska) i za svaki položaj čaše (pored piramide, iznad piramide), ukupno oko 500 kapi i fotografija.

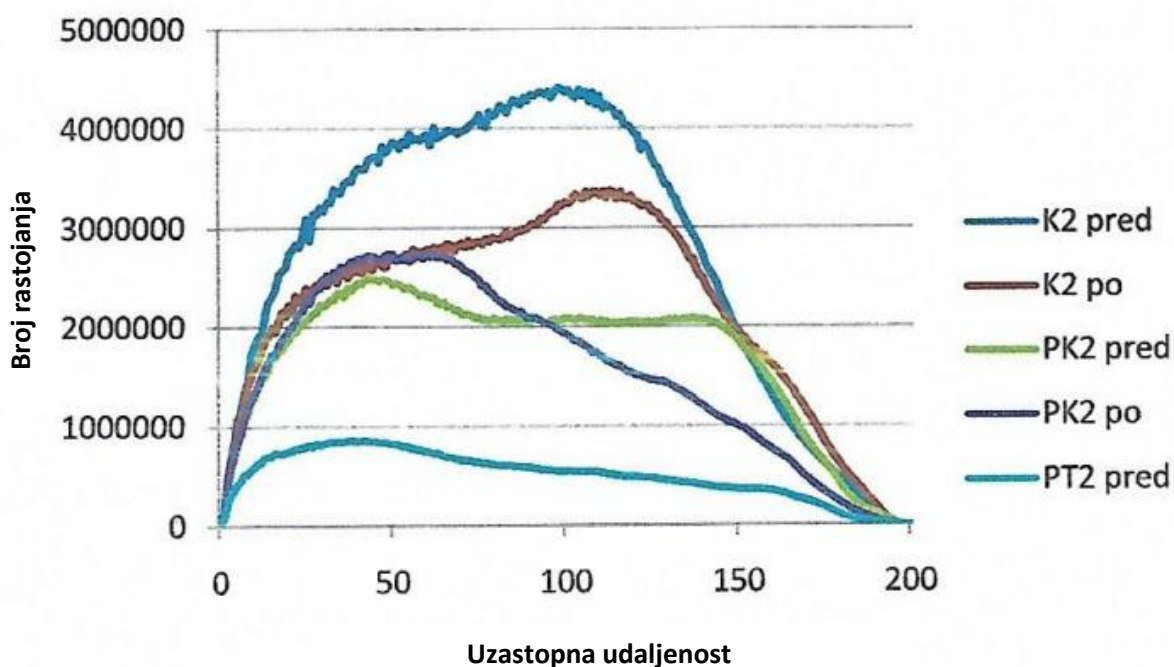


**Slika 3:** Fotografije rasporeda eksperimenta: čaša vode postavljena iznad otvorene piramide i čaša vode postavljena pored zatvorene piramide.

Osušene kapljice su posmatrane pod mikroskopom, fotografisane i ocenjene posebnim računarskim programom, koji određuje rastojanja između osvetljenih tačaka na fotografijama mineralnih ostataka kapljica (analiza frekvencije). Rezultati su prikazani na grafikonu prosečne raspodele frekvencija ovih rastojanja, koji prikazuje prikaz svake udaljenosti između dve svetle tačke na fotografiji. Mogu se upoređivati samo rezultati iz iste serije.

### 3. REZULTATI

Slike 5 i 6 prikupljene su tipične teksture kapljica vode iz slavine i izvorske vode pre i posle ispitivanja delovanja QHRS Biopiramida, (kada je čaša vode stavljena na vrh piramide, - prethodno je skinut vrh piramide), a slike 7 i 8 prikazuju kada je čaša vode stavljena pored piramide (pramida sa vrhom). Procena promena zasniava se na vizuelnom pregledu pojedinih kapi i dodatnoj računarskoj analizi rastojanja između osvetljenih tačaka. U poslednjem smo se fokusirali na položaj vrha krive raspodele frekvencije (slika 4) u kapljicama, i na širinu krive odn. intervale rastojanja koji se najčešće javljaju u jednoj ispitnoj jedinici i ponavljanju. Tamo gde je bilo potrebno, uveli smo drugu osu kako bismo mogli primeniti oblik krivih pre i posle ispitivanja. Svi grafikoni su u prilogu.



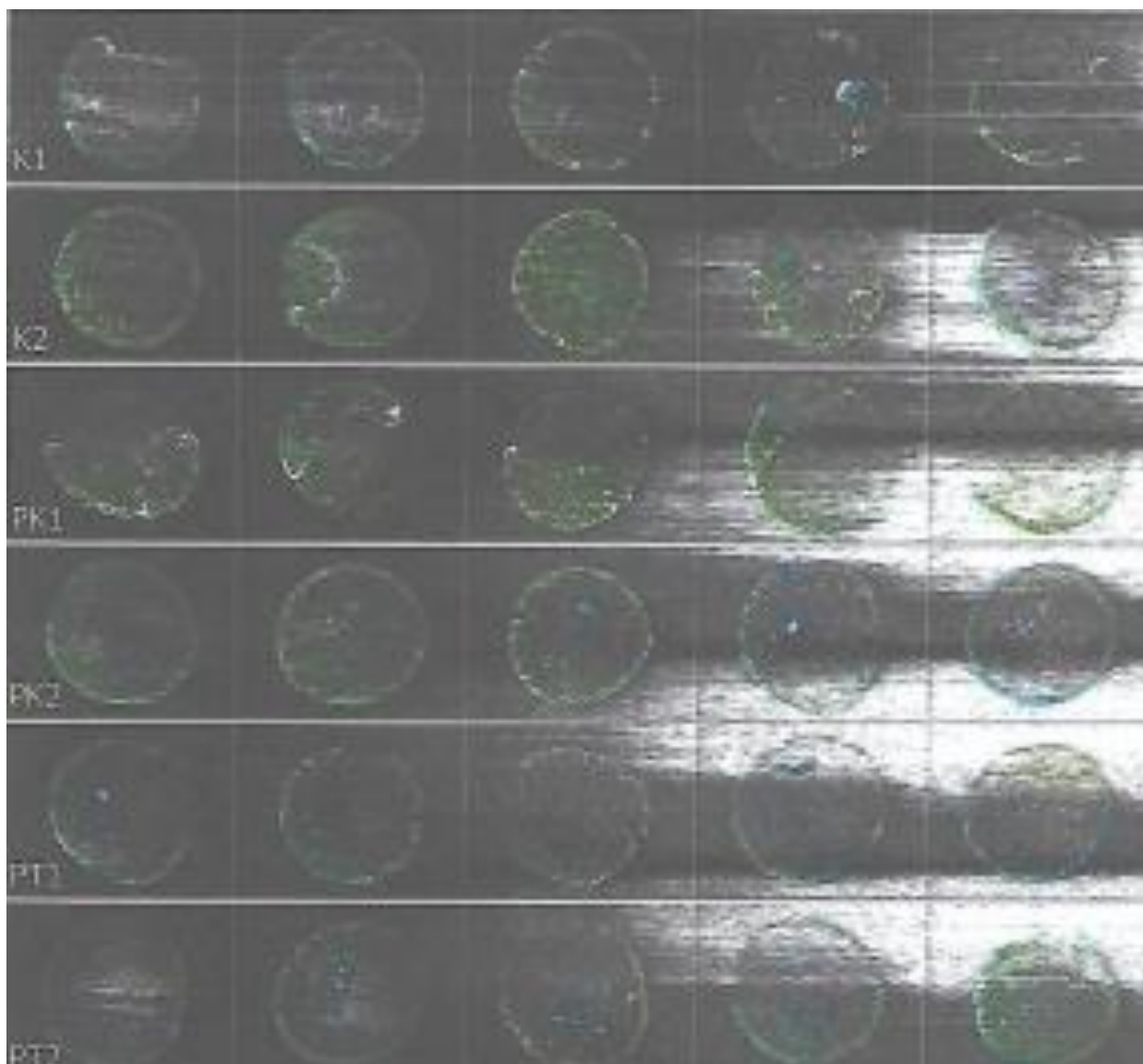
Slika 4: Primer grafikona frekvencijske raspodele rastojanja između tačaka. Ostali grafikoni nalaze se u prilogu.

#### 3.1. VODOVODNA VODA IZNAD PIRAMIDE (iz slavine)

Slika 5 prikazuje ostatke suvih kapi vode iz slavine pre i posle ispitivanja (3. ponavljanje) kada je čaša vode stavljena preko otvorene piramide. Sve kapljice bile su prilično pravilnog oblika, imale su jasno oblikovan rub i jednostavnu teksturu (kapljice nisu bile diferencirane u marginalne i centralne regione, nisu imale veće složene strukture ili nisu imale plavu boju). Nisu primećene razlike između ispitnih jedinica pre i posle ispitivanja piramida.

Analiza raspodele frekvencija ispitivanja uticaja piramide na vodu iz slavine (Aneks 1) pokazala je u kontroli (K) da u sva tri ponavljanja pomeranje vrha krive, nakon ispitivanja, udesno, u kontrolnoj piramidi (PK) nakon ispitivanja vrha krive pomerenog udesno u dva ponavljanja, a u ispitnoj piramidi (PT) vrh krive se pomerio ulevo nakon završetka testa. Takođe smo primetili tendenciju krive da se proteže udesno na K i PK, dok je na ispitnoj piramidi (PT) upravo suprotno: vrh krive se pomerio ulevo, a u dva ponavljanja došlo je do sužavanja krive nakon ispitivanja u poređenju sa oblikom krive pre ispitivanja.

Zaključujemo da su isušene kapljice vode koje su se nalazile u čaši iznad kontrolne piramide (PK) slične su kontrolnim kapljicama (K) koje nisu bile izložene nikakvim faktorima. Ispitna piramida (PT) zaustavlja kretanje vrha krivine udesno, pomera je ulevo i komprimuje oblik krive tako da su kraća rastojanja između tačaka zastupljenija.

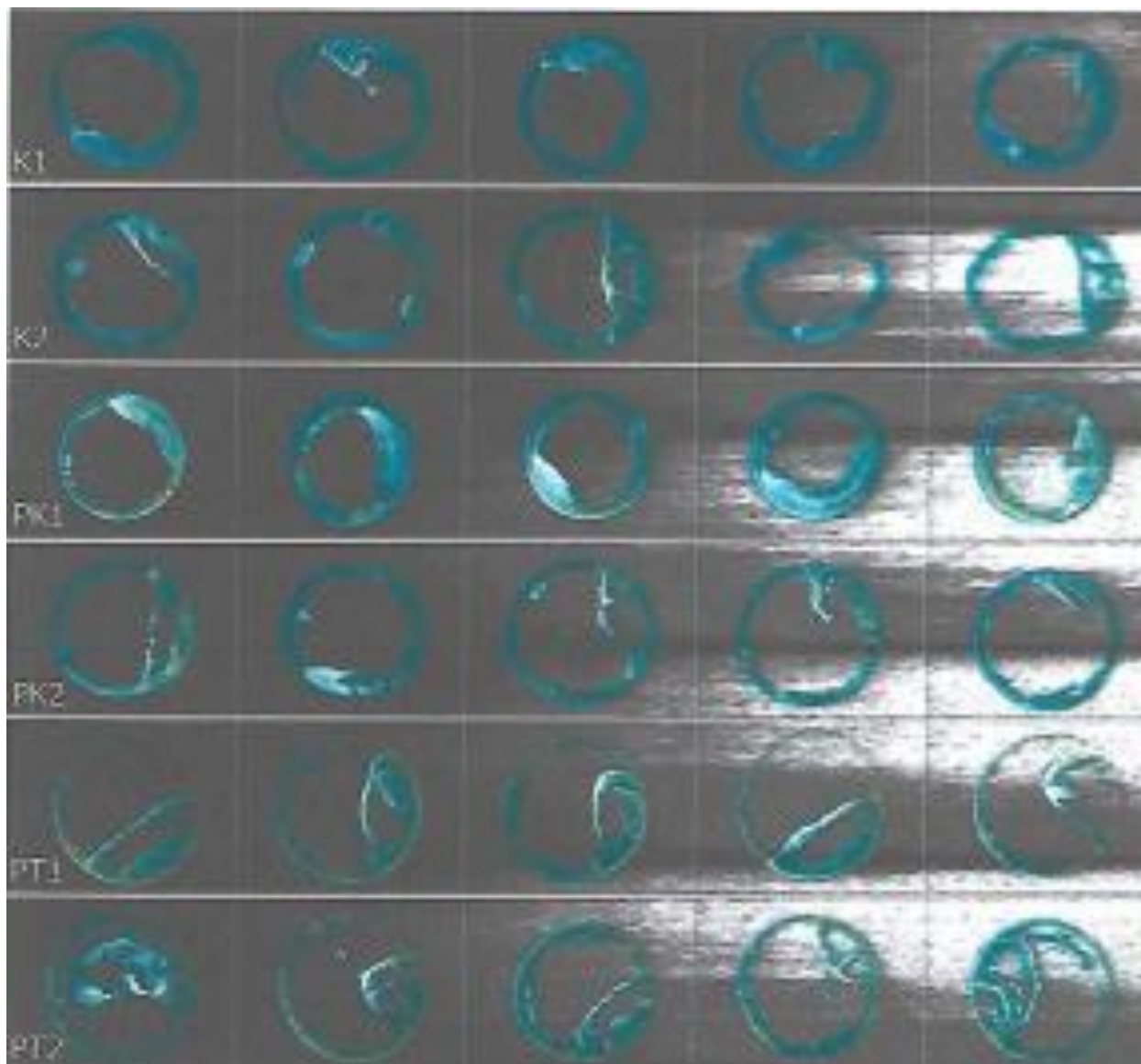


**Slika 5:** Fotografije tipičnih tekstura kapljica vode iz slavine pre i posle ispitivanja; čaša vode stavljena je IZNAD otvorene piramide. Oznake: K - kontrola, PK - kontrolna piramida, PT - ispitna piramida; 1- pre ispitivanja, 2 - nakon ispitivanja (30 minuta) (uvećanje od 40x).



### 3.2. IZVORSKA VODA IZNAD PIRAMIDE

Slika 6 prikazuje tipične teksture ostataka suvih izvorskih kapljica vode pre i posle ispitivanja (3. ponavljanje) kada je čaša vode stavljena iznad otvorene piramide. Sve kapljice su imale jasno definisanu ivicu i prsten, u kontrolnoj vodi (K) vidimo zadebljanje kružnog prstena sa centralnom prazninom / šupljinom; posle 30 minuta ovo zgušnjavanje je složenije. U slučaju kontrolne piramide (PK), pre ispitivanja je prisutno zadebljanje kružnog prstena, koje je jednostavno, potpuno ispunjeno. U ispitnoj piramidi (PT) kružni prsten kapljica je tanji, prisutne strukture su ugrađene u kružni prsten, koji imaju unutrašnji prostor (šupljinu) i dalje su fraktalno razgranati nakon ispitivanja.



Slika 6: Fotografije tipičnih tekstura kapljica izvorske vode pre i posle ispitivanja delovanja piramide - čaša vode stavljena je IZNAD otvorene piramide. Oznake: K - kontrola, PK - kontrolna piramida, PT - ispitna piramida; 1- pre ispitivanja, 2 - nakon ispitivanja (30 minuta) (uvećanje od 40x).

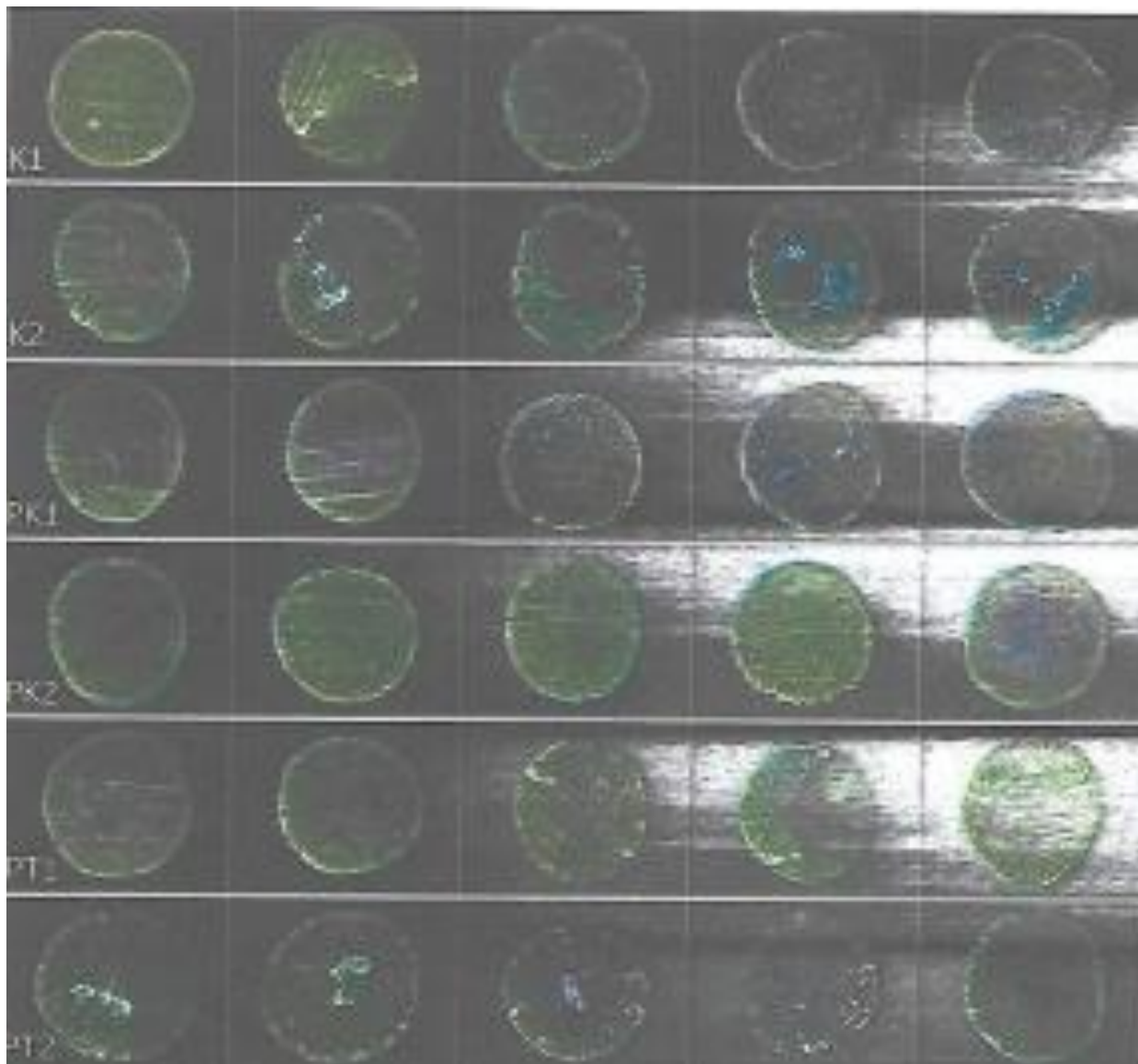


Analiza raspodele frekvencije testa uticaja piramide na izvorsku vodu (Prilog 2) u kontroli (K) u jednom ponavljanju pokazuje suženje širine krivine nakon ispitivanja, u dva ponavljanja ne dolazi do promena. Položaj vrha krive je isti pre i posle testa za sve tri replike, ali se visina vrha menja. U kontroli (PK) i ispitivanju piramide (PT), uticaj na vodu nije trajan, već se svaki put razlikuje. U 1. iteraciji sesije kriva se proširila u obe piramide, u 2. iteraciji se smanjila u obe, a u 3. iteraciji nije bilo promena. Zanimljivo je bilo 3. ponavljanje, gde smo ustanovili da postoji određeni uticaj u svemiru (EM, spoljni uticaj ...), jer je kontrola pre i posle ispitivanja bila raznolika, a PK i PT su ublažili / usrednjeli uticaj, koji je dogodilo u svemiru. Piramide (kontrola i ispitivanje) su u ovom slučaju delovale kao tampon u vibraciji koja je pokrenuta.

### **3.3. VODOVODNA VODA PORED PIRAMIDE**

Na slici 7, tipične teksture osušenih kapi vode iz slavine sakupljaju se pre i posle 30 minuta izlaganja zatvorenoj piramidi (2. ponavljanje). Ostaci kontrolnih kapljica (K) razlikuju se od ostalih po izražajnosti ivice, jer je ovde kod većine kapljica nekoliko puta prekinut. Posle 30 minuta prisutne su i manje strukture plave boje. U kontrolnoj piramidi (PK) kapljice daju osećaj veće gustine nakon ispitivanja, dok se u ispitnoj piramidi (PT) uočavaju zadebljanje i osvetljenje ivičnih delova pre ispitivanja, a jednostavni mineralni klasteri unutar kapljica nakon ispitivanja.

Analiza frekvencije rastojanja između tačaka tačaka (Dodatak 3) pokazala je da je voda iz vodovoda robusna voda i da uticaj nije tako jasan. Nisu uočene razlike u kontroli (K) i kontrolnoj piramidi (PK), osim promenjenog broja rastojanja. U kontroli (K), broj rastojanja u jednoj iteraciji je veći nakon testiranja, u jednoj je manja, a u jednoj iteraciji krive se većim delom preklapaju. U kontrolnoj piramidi (PK) broj rastojanja nakon ispitivanja je veći u sve tri replike, ali nema promena u obliku krivih. Efekat na varijansu je jednolik u kontroli (K) i kontrolnim piramidama (PK) i veoma raznolik u ispitnim piramidama (PT). U dva ponavljanja testa (1. i 3.) uočava se tendencija probne piramide da proširi krivu, a težište se pomera udesno u pravcu većih rastojanja.



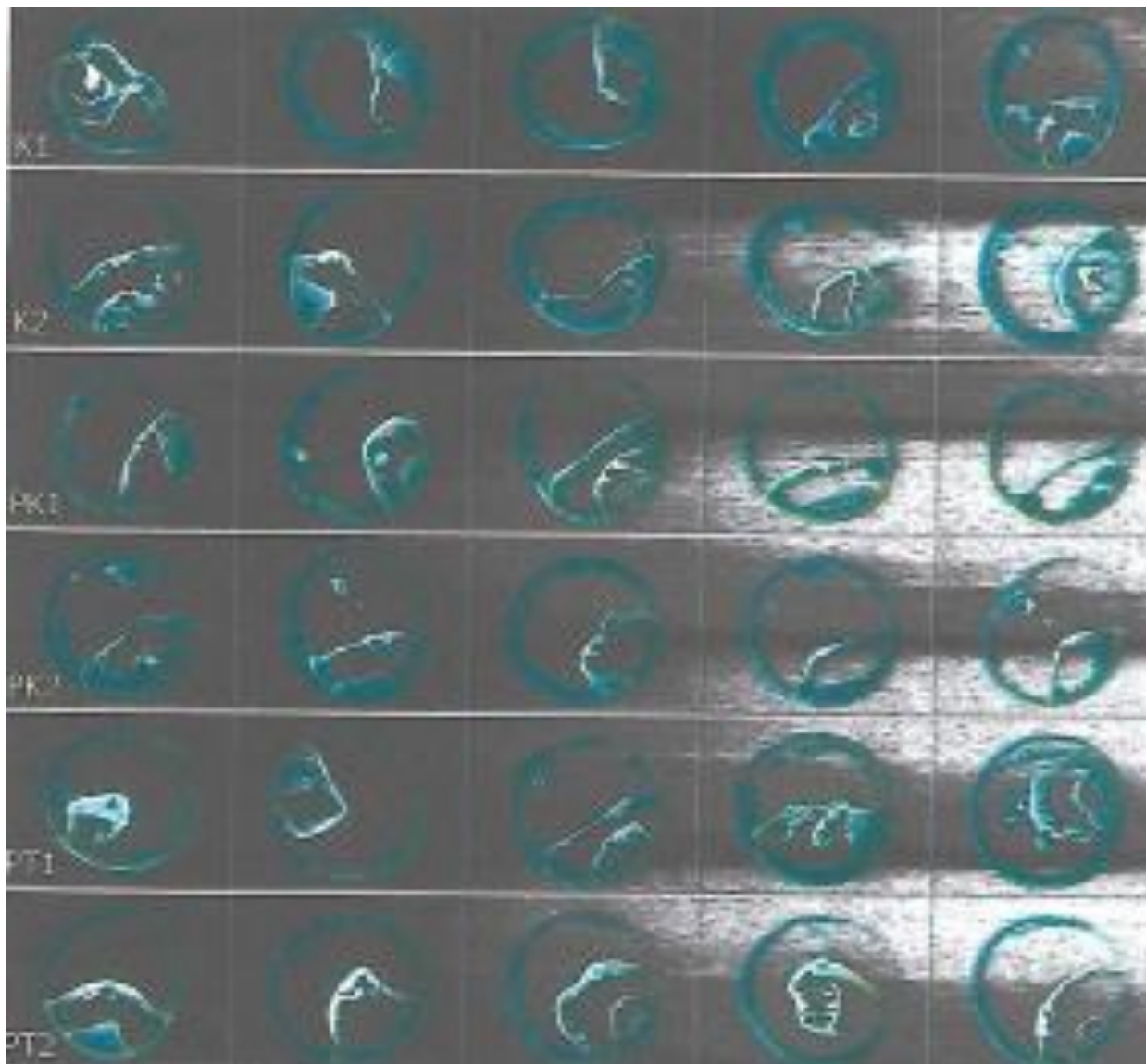
**Slika 7:** Fotografije tipičnih tekstura kapljica vode iz slavine pre i posle ispitivanja; čaša vode stavljena je pored zatvorene piramide. Oznake: K - kontrola, PK - kontrolna piramida, PT - ispitna piramida; 1- pre ispitivanja, 2 - nakon ispitivanja (30 minuta) (uvećanje od 40x).

### 3.4. IZVORSKA VODA PORED PIRAMIDE

Na slici 8(**slika 8**) karakteristične teksture suvih kapljica izvorske vode sakupljaju se pre i posle ispitivanja efekta zatvorene piramide (3.ponavljanje). Sve kapljice su pravilnog oblika, približno istog prečnika, sve imaju jasno definisanu spoljnu ivicu i prsten. Tokom kontrole (K), i pre i posle testa, primećuje se izražena ivica na unutrašnjoj strani prstena. Strukture su ugrađene u prsten, ispunjavajući do polovine površine kapljice. Nakon testiranja, izgled kapi je sličan onom pre testiranja. Ostaci kapljica vode izloženi kontrolnim piramidama (PK) imaju tanji prsten u poređenju sa test kontrolom (K). Strukture pričvršćene za prsten zauzimaju manji deo kapljica od kontrolnih kapljica. Nakon testiranja, ove strukture su jednostavnije, manje čestice se nalaze

i na drugim delovima prstena. U ispitnoj piramidi (PT) strukture nisu stegnute samo u prstenu, već se pružaju prema unutrašnjosti kapljice.

Analiza frekvencije rastojanja između tačaka (Aneks 4) pokazala je suženje krive u sve tri replike u kontroli (K), a u kontrolnoj piramidi (PK) i ispitnoj piramidi (PT) uočljivo je proširenje krive nakon ispitivanja i pomeranje krive udesno. U kontrolnoj piramidi (PK) širenje je bilo manje izraženo nego u ispitnoj piramidi. Ispitna piramida ima bolji uticaj na strukturu kvaliteta vode, ali je i uticaj kontrolne piramide velik, pa pretpostavljamo da i sama piramida ima određeni uticaj, a doprinos čipa u ispitnoj piramidi je mali.



**Slika 8:** Fotografije tipičnih tekstura kapljica izvorske vode pre i posle ispitivanja udara piramide - čaša vode stavljena je Blizu zatvorene piramide. Oznake: K - kontrola, PK - kontrolna piramida, PT - ispitna piramida; 1- pre ispitivanja, 2 - nakon ispitivanja (30 minuta) (uvećanje od 40x).

#### **4. TUMAČENJE REZULTATA I ZAKLJUČCI**

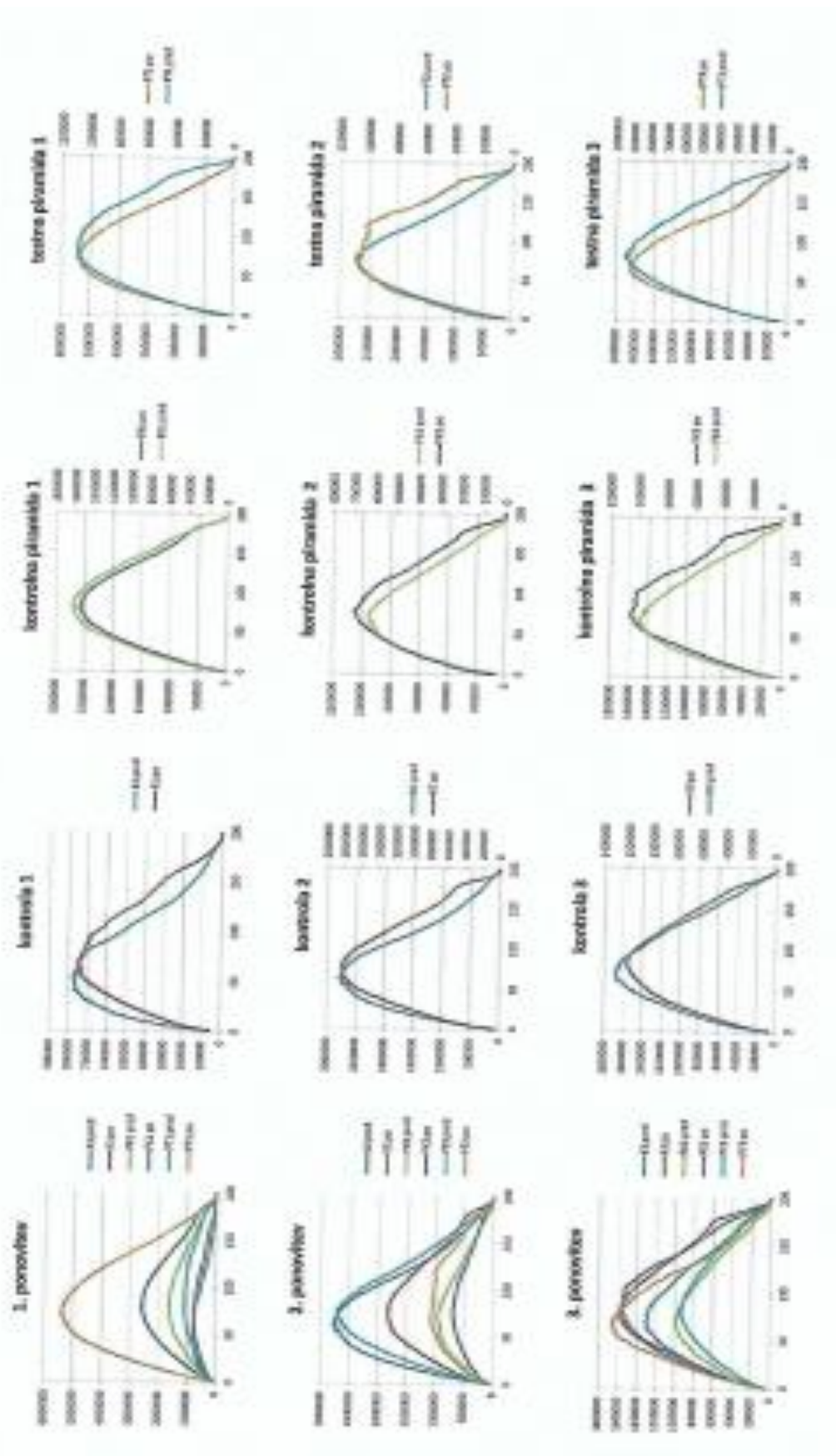
Na osnovu rezultata studije, otkrivamo da QHRS Biopiramid donekle utiče na strukturu kvaliteta vode, jer se fotografije ostataka kapljica vode pre ispitivanja razlikuju od ostataka kapljica vode nakon izlaganja piramidi. Otkrili smo da su promene u strukturi приметnije kada je voda izložena zatvorenoj piramidi. Poređenje zatvorene kontrolne i ispitne piramide pokazalo je uticaj na vodu već u kontrolnoj piramidi, tako da je doprinos čipa u ispitnoj piramidi minimalan. Zbog toga je važno koristiti piramidu u zatvorenom.

**Vežano i u zavisnosti od svih izvršenih merenja, proizvodu**

**“QHRS BIOPIRAMIDA”**

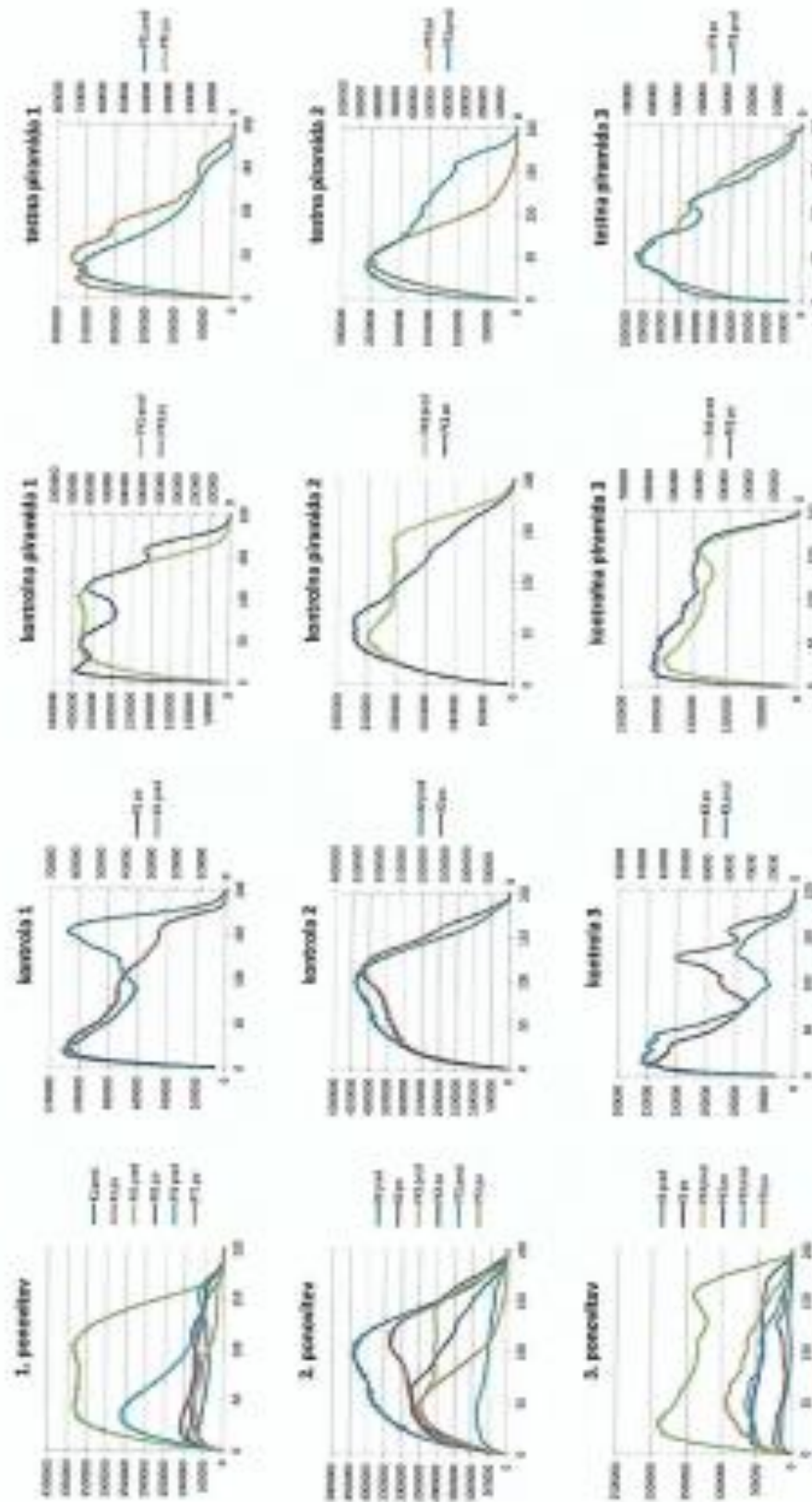
**dodeljujemo Sertifiakt o strukturnom kvalitetu vode**

**PRILOG 1:** Prikupljeni grafikoni proseka distribucije frekvencije rastojanja sve tri replike testa udara PKSD Biopiramida na vodu iz slavine koja se nalazila u čaši iznad otvorene piramide. Os k je „Sekvencijalna udaljenost“, a osa i „Broj rastojanja“ (ose nisu obeležene radi transparentnosti, primer tačno označenog grafikona prikazan je na slici 3).



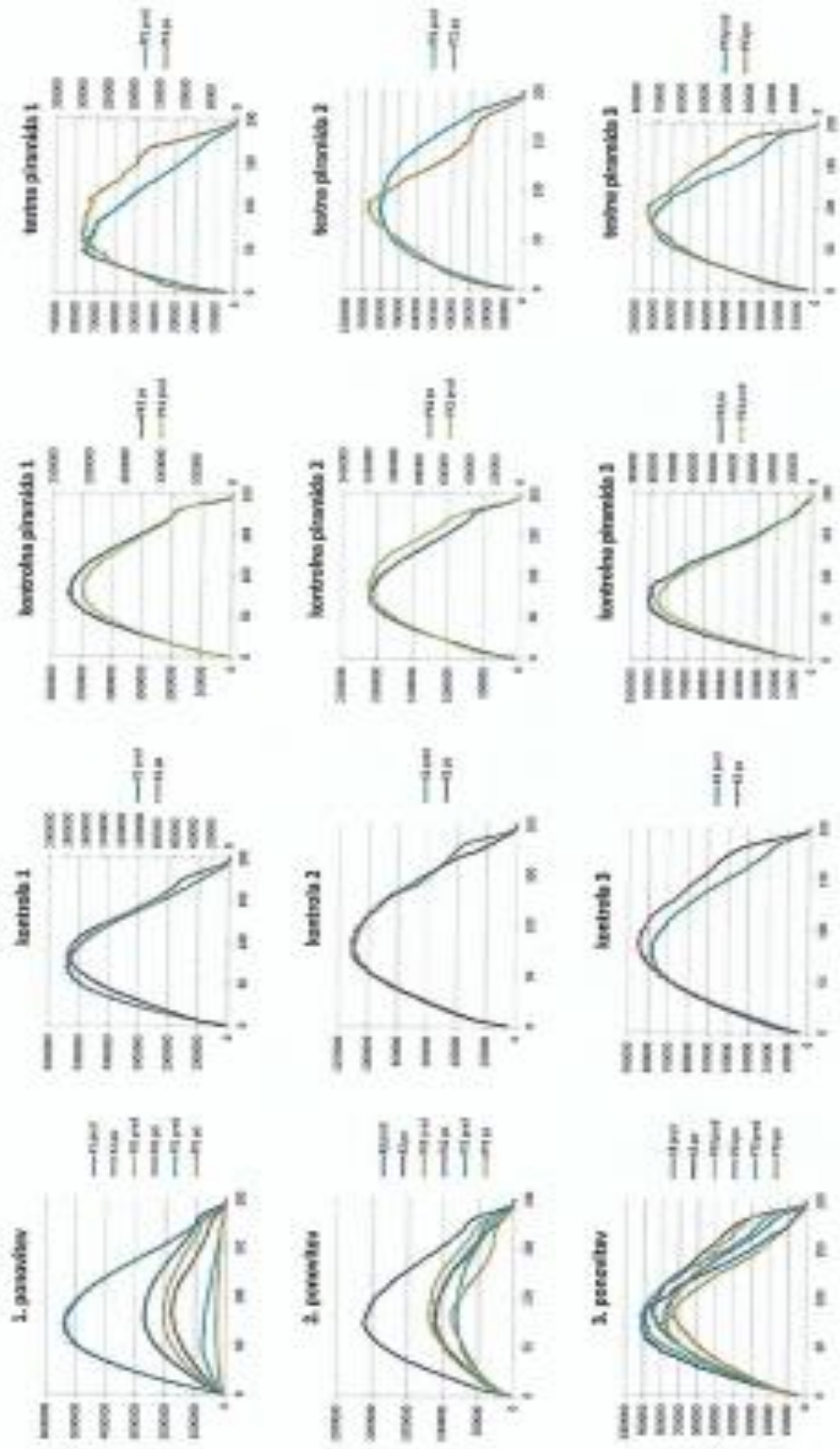


**PRILOG 2:** Prikupljeni grafikoni proseka raspodele frekvencija rastojanja sve tri replike testa udara PKSD Biopiramida na izvorsku vodu koja je bila u menzi iznad otvorene piramide. Na osi k je „Sekvencijalna udaljenost“, a na osi i „Broj rastojanja“ (ose nisu obeležene radi transparentnosti, primer tačno označenog grafikona je na slici 3),





PRILOG 3: Prikupljeni grafikoni proseka raspodjele frekvencija rastojanja sva tri ponavljanja testa udara PKSD Biopiramida na vodu iz slavine koja se nalazi u čaši zatvorene piramide. Os k je „Sekvencijalna udaljenost“, a osa i „Broj rastojanja“ (ose nisu obeležene iz razloga transparentnosti, primer tačno označene rešetke prikazan je na slici 3).



**PRILOG 4:** Prikupljeni grafikoni proseka raspodjele frekvencija rastojanja sve tri iteracije testa udara PKSD Biopiramida na izvorsku vodu koja se nalazi u čaši zatvorene piramide. Os k je „Sekvencijalna udaljenost“, a osa l „Broj rastojanja“ (ose nisu obeležene radi transparentnosti, primer tačno označenog grafikona je na slici 3).

